

1/12

Kamiya et al.

JP9-2000-0222(mu)(8728-554)

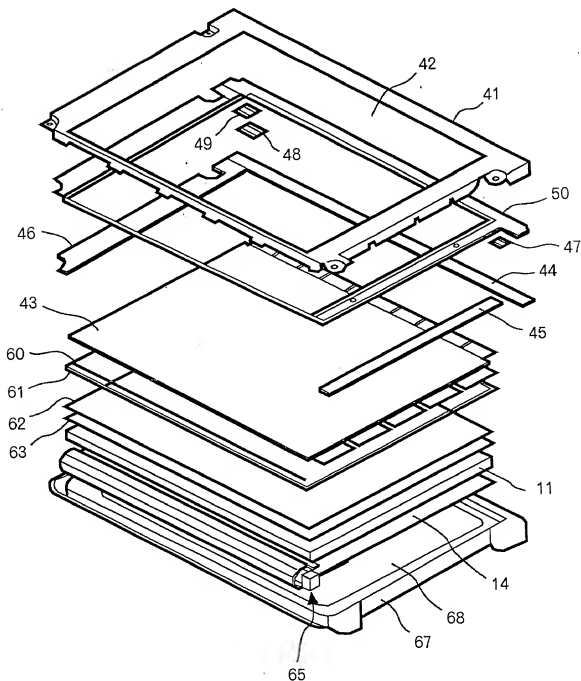
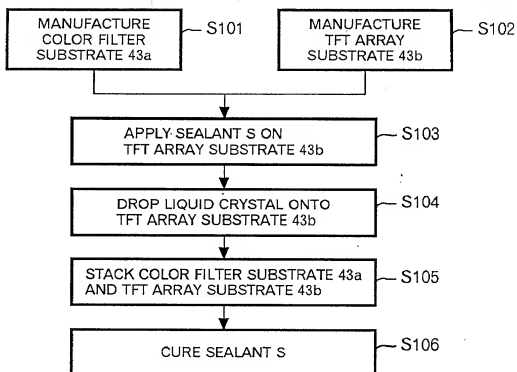
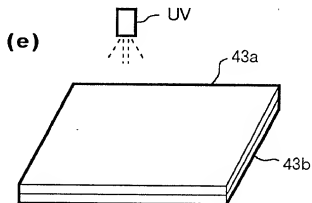
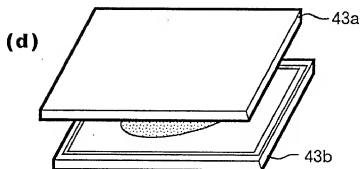


FIG. 1

09029675.081401



**FIG. 2**



**FIG. 4**

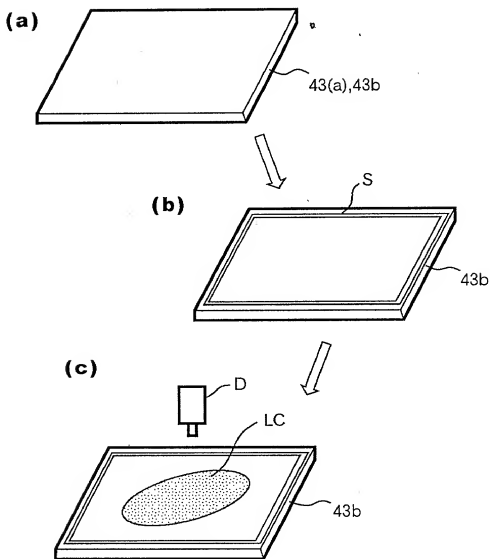


FIG. 3

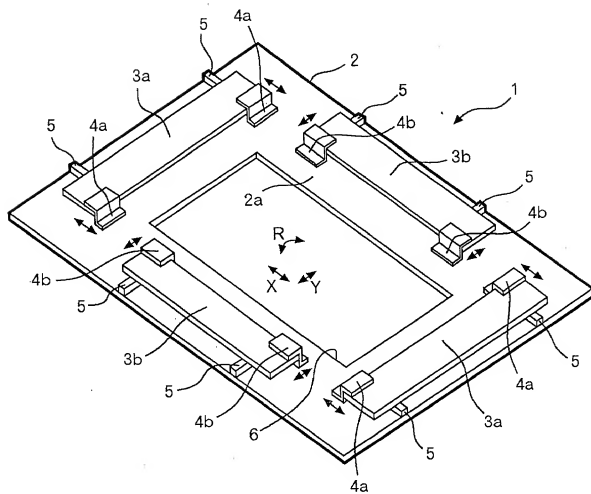


FIG. 5

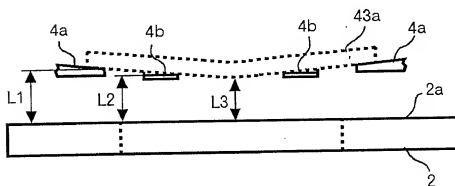


FIG. 6

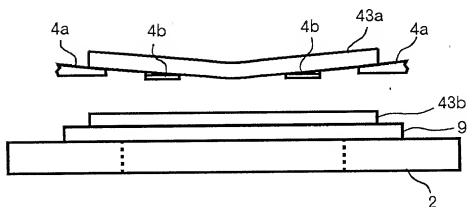


FIG. 7

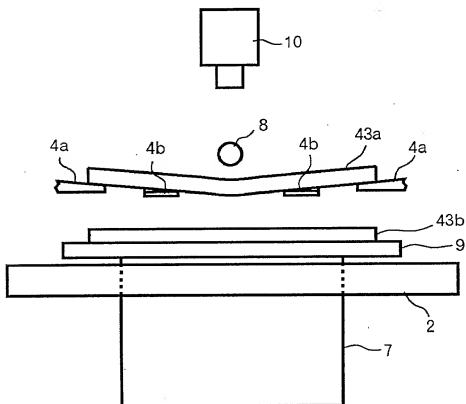
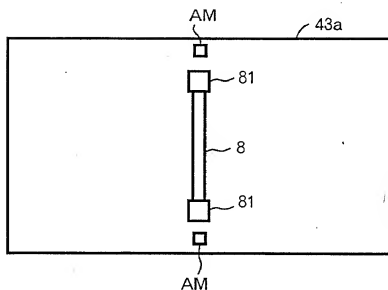


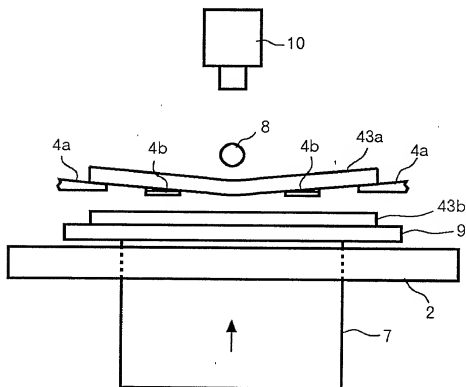
FIG. 8

6/12

JP9-2000-0222 (8128-554)



**FIG. 9**



**FIG. 10**

09929675.081401

7/12

JP9-2000-02222 (8728-554)

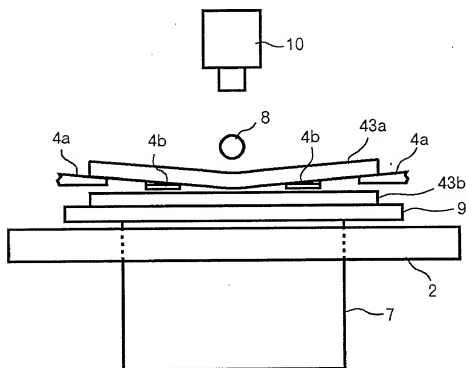


FIG. 11

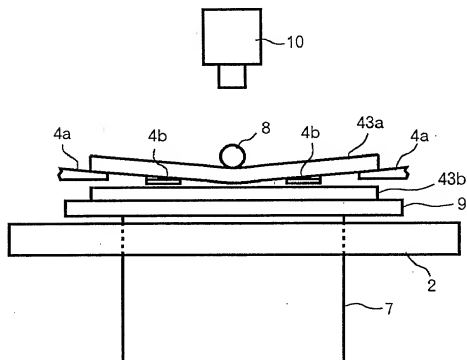


FIG. 12

09929675.081401

8/12

JP9-2000-0222(8128-554)

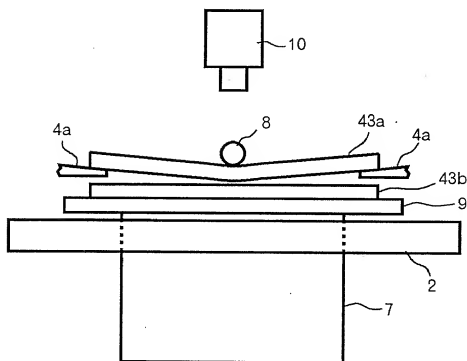


FIG. 13

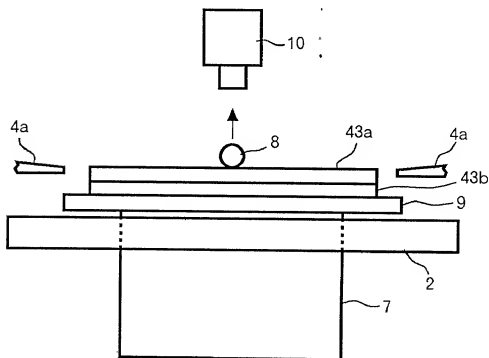


FIG. 14

09929675-081401



9/12

JP9-2000-0222 (8128-554)

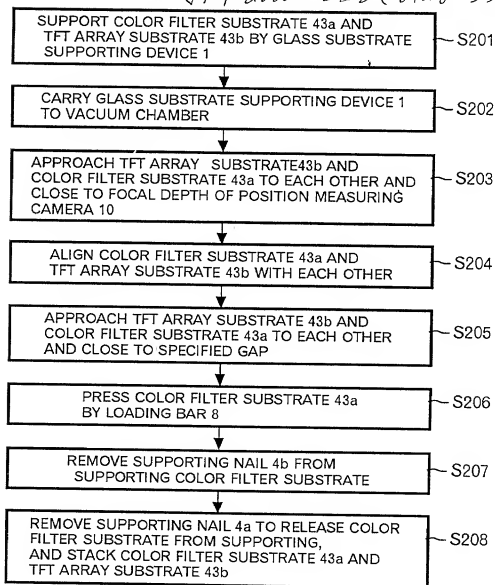


FIG. 15

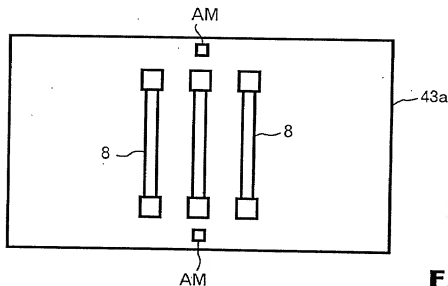


FIG. 16

10/12

JP9-2000-0222 (8728-554)

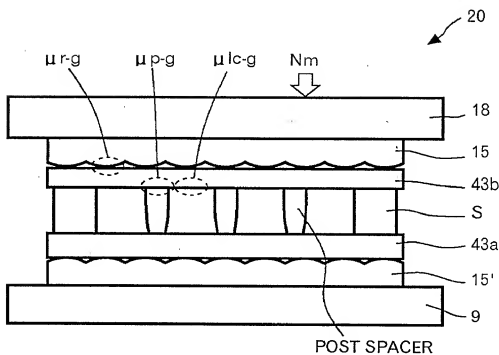


FIG. 17

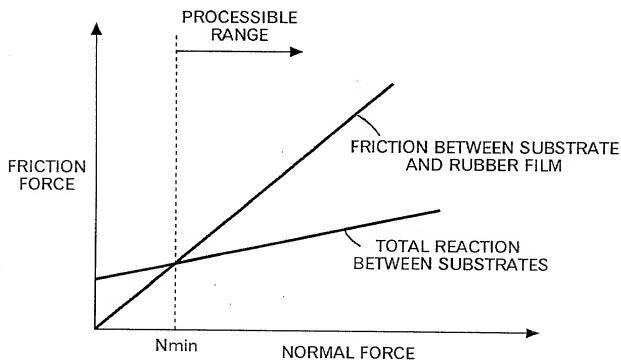


FIG. 18

09929675.081401

11/12

JP9-200-0202 (8428-554)

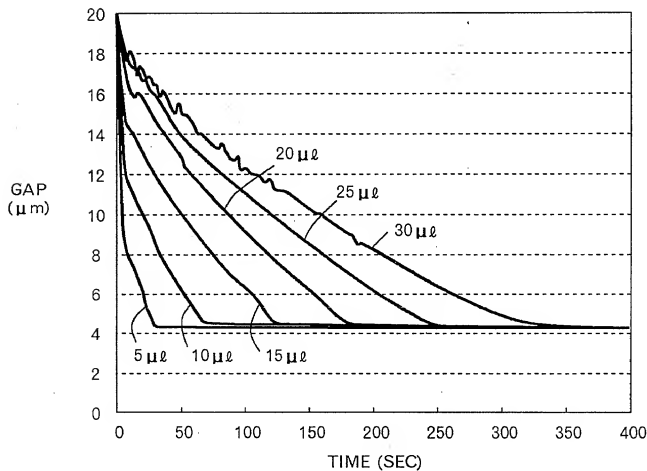
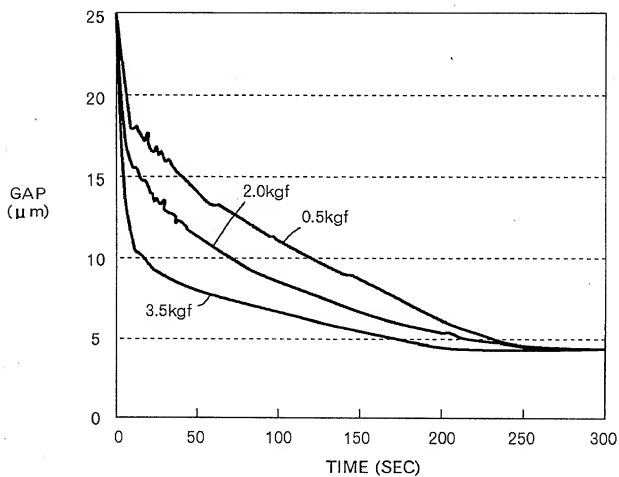


FIG. 19

12/12

JP9-200-0222 (8428-554)



**FIG. 20**